

بررسی تأثیر تزریق چند مرحله‌ای سوخت بر عملکرد و آلایندگی موتور دیزل پاشش مستقیم

سیامک حسین پور^۱، هومن راه حق^۲

گروه مهندسی مکانیک، دانشگاه صنعتی سهند

HOSSAINPOUR@SUT.AC.IR

چکیده

هدف از این مقاله ارائه و بررسی تستهای عملکرد و آلایندگی انجام شده بر روی موتور PR4-236V و شبیه‌سازی فرآیند پاشش سوخت و احتراق در این موتور، جهت مطالعه اثر تزریق چند مرحله‌ای سوخت بر روی فرآیند احتراق و آلایندگی خروجی به کمک کد کامپیوتری KIVA می‌باشد. تستهای انجام شده بمنظور رساندن سطح آلایندگی موتور به محدوده تعیین شده در استانداردهای آلایندگی اروپا انجام شده است که در این تحقیق با توجه به محدودیتهای آزمایش از شبیه‌سازی برای تکمیل این موضوع استفاده گردیده است. آزمایش‌های انجام شده بر روی پارامترهای تزریق سوخت بوده و شامل بررسی تأثیر تغییر در زمان پاشش و فشار پاشش سوخت در موتور مورد نظر می‌باشد. آزمایشات توسط کد کامپیوتری شبیه‌سازی شده و نتایج ارایه شده، نشانگر دقت و پایداری کد در شبیه‌سازی عملکرد و آلایندگی موتور مورد مطالعه می‌باشد. علاوه بر آن، پاشش چند مرحله‌ای سوخت مدلسازی شده و نتایج حاصله بیانگر کاهش آلایندگی با استفاده از تزریق چند مرحله‌ای مناسب می‌باشد.

واژه‌های کلیدی: تست آلایندگی موتور - شبیه‌سازی عملکرد و آلایندگی موتور - تزریق چند مرحله‌ای سوخت.

۱- مقدمه

در کنار کاربوی روزافزون موتورهای دیزلی، استانداردهای آلایندگی نیز به دلیل نگرانی‌های زیست محیطی سخت‌گیرانه‌تر می‌شود و همین عامل تحقیق در مورد موتورهای دیزل و کنترل آلایندگی خروجی آنها را الزامی کرده است. موتورهای دیزلی وسایل نقلیه از جمله موتور دیزل PR4-236v تولیدی شرکت موتورسازان در زمانی طراحی شده‌اند که آبودگی هوا امر مهمی نبوده و تنها عملکرد موتور مطرح بوده است. در یک سیستم سوخت‌رسانی پارامترهای تزریق سوخت بر ساختار و مشخصات اسپری از جمله توزیع اندازه قطرات، نفوذ اسپری، زاویه اسپری و فرآیند احتراق تأثیر می‌گذارند. تولید ذرات معلق NO_x و سر و صدای احتراق، شدیداً بستگی به فرآیند احتراق دارد. بنابراین کنترل دقیق تزریق سوخت و تشکیل اسپری به منظور بهبود فرآیند احتراق ضروری است. برای مثال افزایش فشار و کاهش قطر سوراخ نازل، آلایندگی ذرات معلق را کاهش می‌دهد، زیرا اتمیزاسیون سوخت و مخلوط شدن سوخت و هوا را بهبود می‌دهد. اما از طرف دیگر روش‌های مذکور تولید NO_x را افزایش می‌دهد زیرا با این عمل دمای موضعی و اکسیژن در نواحی غنی در نزدیکی شروع فرآیند احتراق، افزایش می‌یابد. نرخ تشکیل NO_x را می‌توان با ریتارد کردن تایمینگ تزریق که باعث کاهش ماکزیمم دما و فشار سیلندر می‌شود کاهش داد. اما این روش نیز کارآمد نیست و مصرف سوخت را افزایش می‌دهد. به منظور بهینه کردن NO_x بدون قربانی کردن مصرف سوخت،

۱- استادیار دانشکده مهندسی مکانیک- دانشگاه صنعتی سهند

۲- دانشجوی کارشناس ارشد مکانیک- سیستم محرکه خودرو

درک ارتباط بین پارامترهای تزریق سوخت و اینکه چگونه آنها بر فرآیند احتراق تأثیر می‌گذارند بسیار مهم است و این موضوع اهمیت این تحقیق را بیان می‌کند.

هزینه زیاد و طولانی بودن زمان انجام آزمایشها نیز بر کسی پوشیده نیست. از اینرو استفاده از کدهای کامپیوترا علاوه بر کمک به درک جزئیات دقیق جریان پیچیده احتراق در داخل سیلندر و کمک به بهینه کردن طرح اولیه می‌تواند تأثیر قابل ملاحظه‌ای در کاهش زمان و هزینه‌های انجام آزمون‌های لازم داشته باشد. در همین راستا در این مقاله از کد KIVA که یک کد دینامیک سیالات محاسباتی معتبر می‌باشد استفاده شده است.

افزایش فشار تزریق با وجود اینکه منجر به اتمیزاسیون بهتر و مخلوط شدن بهتر سوخت و هوا می‌گردد ولی از طرف دیگر میتواند باعث برخورد اسپری با دیواره شود. اما محدودیت‌هایی نیز برای افزایش فشار به علت مقاومت مواد و هزینه سیستم سوخت‌رسانی وجود دارد [۱ و ۲].

تزریق دو مرحله‌ای سوخت نیز مقدار آلاینده‌های SOOT و NO_x را تحت تأثیر قرار میدهد. با تغییر مقدار سوخت تزریق شده در پالس اول از ۱۰ الی ۷۵ درصد کل سوخت تزریقی مقدار NO_x و ذرات معلق تغییر مینماید. بطور کلی تغییر زمان‌بندی تزریق دو مرحله‌ای، NO_x را کاهش و SOOT را بسیار اندک افزایش میدهد ولی طول احتراق افزایش پیدا نمی‌کند [۳ و ۴].

با تغییر زاویه سکون بین پالس‌های تزریق در زمان‌بندی تزریق دو مرحله‌ای و سه مرحله‌ای، ذرات معلق سه برابر کاهش NO_x تقریباً بدون افزایش باقی می‌ماند. همچنین با اینکار مصرف مخصوص سوخت تمیزی در مقایسه با تزریق منفرد افزایش می‌یابد. در صورتیکه تزریق دو مرحله‌ای با زاویه سکون نسبتاً طولانی انجام پذیرد. همچنین تزریق سه مرحله‌ای می‌تواند هر دو آلاینده NO_x و SOOT را هم در بارهای سبک و هم در بارهای سنگین کاهش دهد. زاویه سکون بهینه برای تزریق دو مرحله‌ای در موتور مورد بررسی در مرجع [۵] آنها حدود ۱۰ درجه زاویه میل‌لنگ در بار ۷۵٪ و دور ۱۶۰۰ rpm است [۵ و ۶]. با ثابت نگه داشتن مقدار NO_x ، مقدار سوخت تزریق شده در پالس اول تأثیر قابل توجهی روی مقدار آلاینده ذرات معلق دارد. از طرف دیگر بهترین زمان‌بندی تزریق دو مرحله‌ای بستگی به زاویه اسپری نازل دارد. برای انژکتورهای ساخته شده با زاویه ۱۲۵ درجه، بهترین زاویه تزریق دو مرحله‌ای وقته است که ۵۰ الی ۶۰ درصد کل سوخت در پالس اول تزریق شود. در این تحقیق همچنین نشان داده است که با استفاده از ۶ درصد EGR و زمان‌بندی بهینه تزریق سه مرحله‌ای، ذرات معلق و NO_x به طور همزمان، به ترتیب به مقدار پایین ۷/۰ و ۲/۲ gr/bhp.hr و ۹/۸ و ۷/۰ می‌یابد [۶ و ۷].

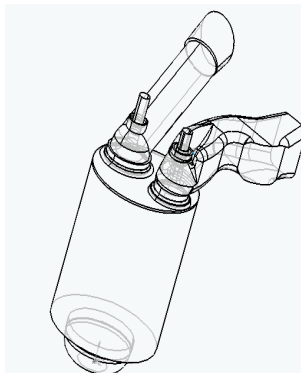
۲- مشخصات موتور مورد مطالعه

موتور مورد مطالعه در این پژوهه Pr 4-236v و مدل پورت‌های ورودی و خروجی و هندسه محفظه احتراق آن در شکل ۱ نشان داده شده است. مشخصات هندسی و شرایط عملکرد این موتور در جدول ۱ نشان داده شده است.

۳- بررسی آزمایشات انجام شده بر روی موتور

آزمایشات انجام شده بر روی موتور بمنظور کاهش نشر آلاینده‌های خروجی تا حد مجاز استانداردهای EURO I و EURO II صورت گرفته و شامل تست عملکرد (اندازه گیری گشتاور، توان، دمای روغن و زمان مصرف سوخت در دورهای مختلف و تصحیح گشتاور و توان موتور با توجه به استاندار ISO1585) و تست آلاینده‌گی بر اساس استاندار ECER49 (اندازه گیری زمان مصرف سوخت و مقادیر آلاینده‌های CO, HC, NO_x , SOOT در گشتاورهای مختلف و در سه دور خلاصی، دور نامی و دور میانی می‌باشد).

با توجه به اعداد خام بدست آمده از سلول تست برای توان موتور در حالت تنفس طبیعی و محدوده خطای اندازه گیری در آزمایشات، سرعت نامی برابر ۲۴۰۰ rpm و سرعت میانی با توجه به تعریف آن در استاندارد برابر با ۶۰٪ سرعت نامی موتور یعنی ۱۴۰۰ rpm در نظر گرفته می‌شود.



شکل ۱- پورت های ورودی و خروجی و هندسه محفظه احتراق

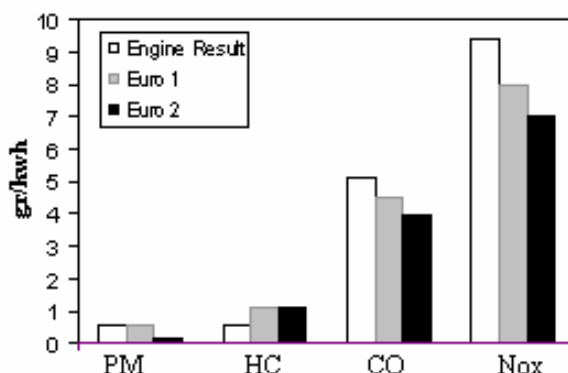
جدول ۱- مشخصات موتور

۴	تعداد سیلندر
۹۹/۸mm	قطر سیلندر
۱۲۸mm	کورس پیستون
۱۶	نسبت تراکم
۲۲۵bar	فشار تزریق
۴	تعداد نازلهای انژکتور
۱۵۰	زاویه مخروط انژکتور

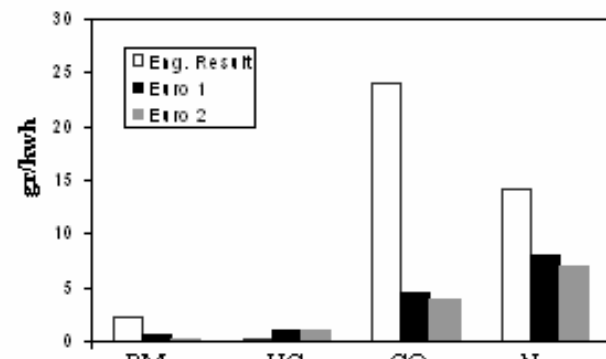
زمان مصرف ۳۰۰ CC سوخت گازوییل با دمای ۴۰ درجه در دور ۱۴۰۰ rpm برابر S ۹۹/۶ است. از احتراق این مقدار سوخت مصرف شده گشتاور ترمی ۲۳۰ N.m و توان ترمی KW ۳۳/۵۷ اندازه گیری شده است. طبق مدارک فنی در دور ۱۴۰۰ rpm برای تولید N.m ۲۲۲-۲۲۸ گشتاور ترمی بین mm³/stroke ۶۸-۶۲ سوخت مصرف می شود که نشان دهنده مصرف سوختی در حدود ۳ cc/s و درستی نتایج آزمایش و صحت عملکرد تجهیزات است. همچنین برای ارزیابی آلینده های خروجی، از مقادیر اندازه گیری شده توسط دستگاه آلینده سنج AVL4000 استفاده شده است.

جهت بررسی عملکرد و نشر آلینده های موتور دیزل Pr4-236 در حالت دیزل خالص آزمایشات بسیاری برای حالت بار کامل در سرعتهای مختلف (از سرعت ۱۰۰۰ rpm تا ۲۸۰۰ rpm با فواصل ۲۰۰ rpm) انجام گرفت. جهت اطمینان از نتایج حاصله، آزمایشات در ساعات مختلف روز تکرار و میانگین مقادیر به دست آمده به عنوان نتایج نهایی استفاده شده است. در این آزمایشات برای اندازه گیری دوده بجای اندازه گیری ذرات (Particulate meter) از اندازه گیری نوری (Opacity meter) استفاده شده که در مقایسه با تجهیزات تونل رقیق سازی و اندازه گیری مستقیم ذرات معلق دارای خطای بیشتری است.

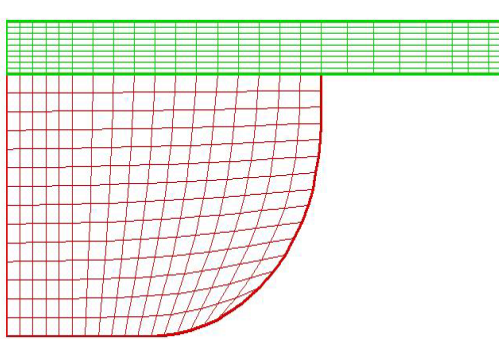
نتایج تستهای اولیه اندازه گیری مقدار آلینده های PM, CO, NO_x, HC در شکل ۲ و ۳ آورده شده است. همانگونه که دیده می شود مقدار آلینده های خروجی موتور مورد آزمایش از حد مجاز ذکر شده در استاندارد EURO I زیادتر می باشد که با تغییر در فشار و زمان پاشش آلیندگی موتور مطابق شکل ۴ به زیر محدوده تعیین شده در استاندارد EUROI کاهش می یابد. یکی از روش های کاهش NO_x، کاهش دمای هوای ورودی است. کاهش دمای هوای ورودی، کاهش دمای پیک و در نتیجه کاهش NO_x را در پی دارد و بعلت افزایش کار انجام شده در سیکل احتراق، توان موتور افزایش و نسبت gr/Kwh آلینده ها کاهش می یابد. بنابراین استفاده از توربو شارژر با خنک کن میانی مناسب با توجه به دما و دبی هوای خروجی روش مناسبی برای کاهش آلیندگی خواهد بود.



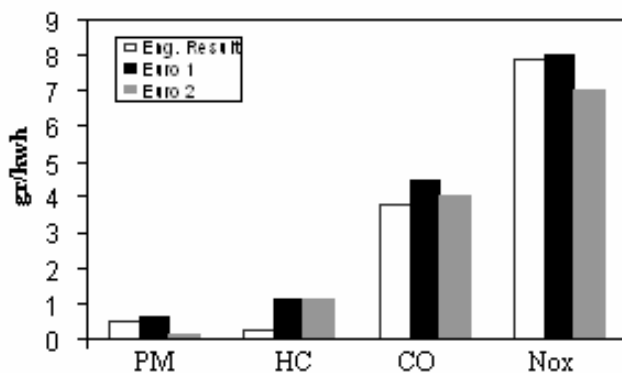
شکل ۳: مقایسه آلینده های موتور با استاندارد



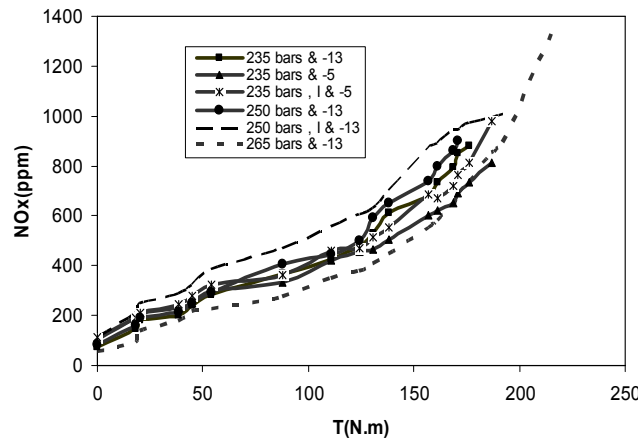
شکل ۲: مقایسه آلینده های موتور پایه با استاندارد



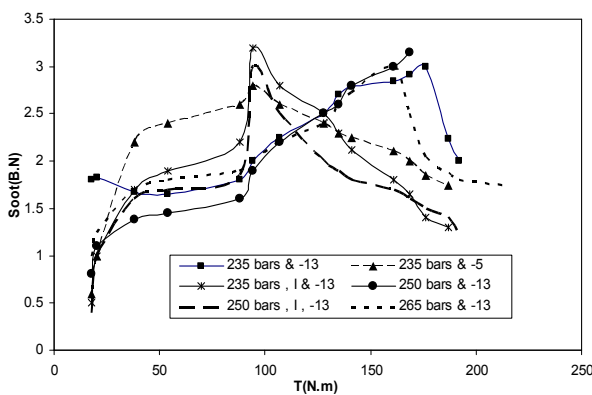
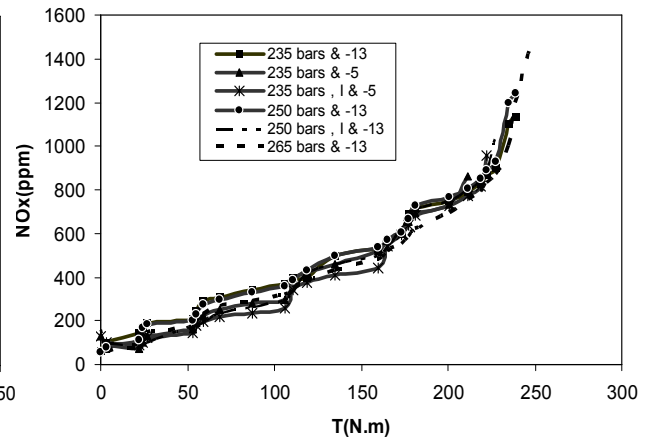
شکل ۵: محفظه احتراق شبکه بندی شده در کد KIVA II



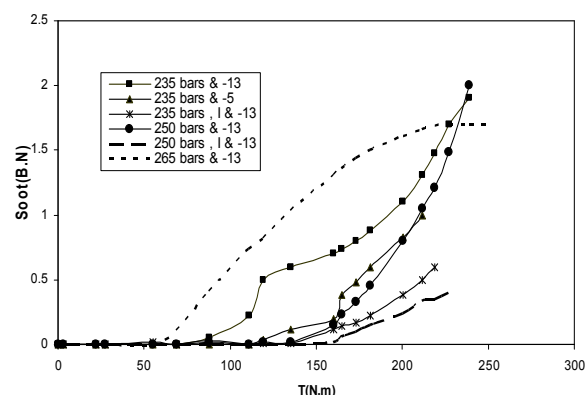
شکل ۶: مقایسه آلاینده های موتور با توربوشارژ و خنک کن

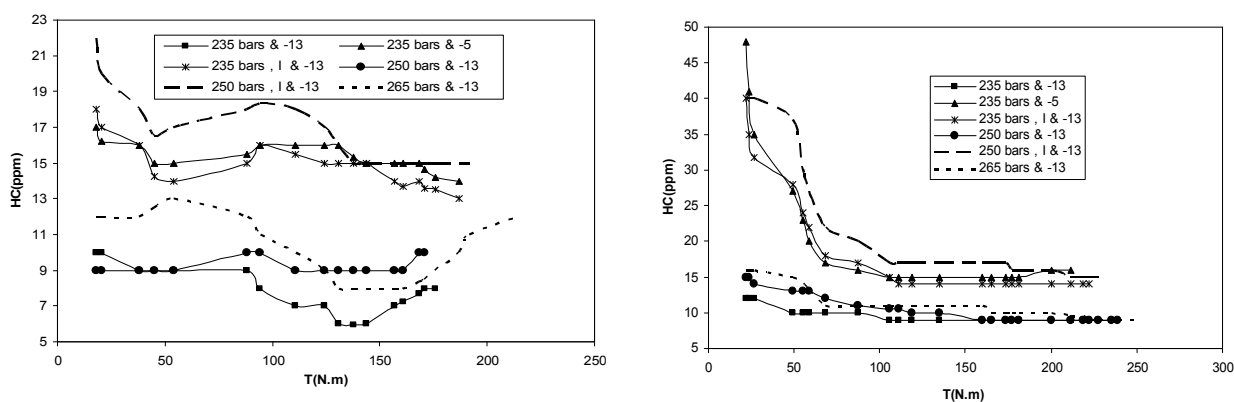


شکل ۶: تغییرات آلاینده NOx بر حسب گشتاور در دور ۲۴۰۰ rpm و ۱۴۰۰ با تغییر در فشار و زمان پاشش و استفاده از خنک کن میانی

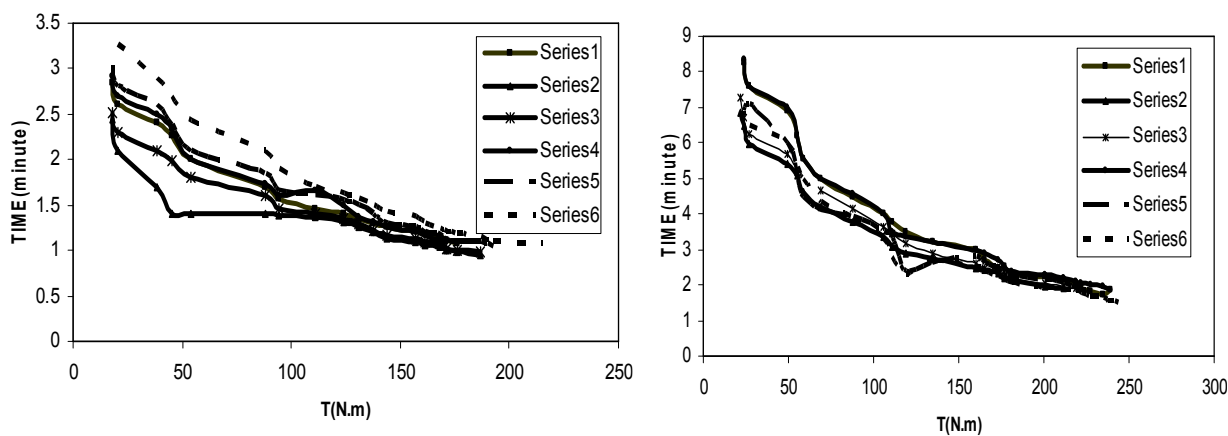


شکل ۷: تغییرات آلاینده دوده بر حسب گشتاور در دور ۲۴۰۰ rpm و ۱۴۰۰ با تغییر در فشار و زمان پاشش و استفاده از خنک کن میانی





شکل ۸: تغییرات آلاینده HC بر حسب گشتاور در دور ۲۴۰۰ rpm و ۱۴۰۰ با تغییر در فشار و زمان پاشش و استفاده از خنک کن میانی



شکل ۶: تغییرات زمان مصرف سوخت بر حسب گشتاور در دور ۲۴۰۰ rpm و ۱۴۰۰ با تغییر در فشار و زمان پاشش و استفاده از خنک کن میانی

از شکل های ۶، ۷، ۸ و ۹ مشاهده می شود که با ریتارد زاویه پاشش عملکرد موتور از نظر نشر آلاینده ها بهبود داشته و آلاینده NOx از ۱۵۴۳ ppm در زاویه پاشش ۲۰ در دور بیشینه گشتاور به ۱۱۳۵ و ۸۶۱ ppm با ۷ و ۱۵ درجه ریتارد می رسد. با افزایش فشار پاشش به ۲۵۰ و ۲۶۵ bars تغییرات قابل توجهی در تولید آلاینده ها رخ می دهد که نتایج حاصل از آزمایش در شکل های ۶، ۷، ۸ و ۹ آمده است.

۴- روش های عددی

کد KIVA II معادلات جریان غیر دائمی، قابل تراکم، متلاطم و در حال واکنش شیمیائی را با استفاده از روش حجم محدود حل می کند. برای مدل سازی آشفتگی جریان داخل کاسه پیستون از مدل ۴-K استفاده شده است. مدل (KH-RT, Kelvin-Helmholtz, Rayleigh-Taylor) جهت مدل کردن افشارهای سوخت استفاده شده است. اشتعال موتور دیزل در این کد با مدل سینتیکی چند مرحله ای (Shell model) انجام شده است [۱۰]. هندسه محفظه احتراق در نرم افزار Solid Works ترسیم شده و پروفیل محفظه با مشخص کردن ناحیه ها و اندازه شبکه مورد نیاز در پیش پردازنده کد KIVA مطابق شکل ۵ شبکه بندی گردیده است.

برای بررسی صحت محاسبات کد، مشخصه فشار داخل سیلندر و منحنی توان موتور پایه و موتور همراه با توربو شارژ در زوایای مختلف میل لنگ در شکل های ۱۰ و ۱۲ ارائه و مقایسه شده است. وجود تلفات، توانهای مصرفی قسمتهای مختلف موتور و عدم محاسبه کار پمپاژ در سیکل بسته، سبب ایجاد اختلاف جزئی بین آزمایش و حل عددی شده است و بر این اساس

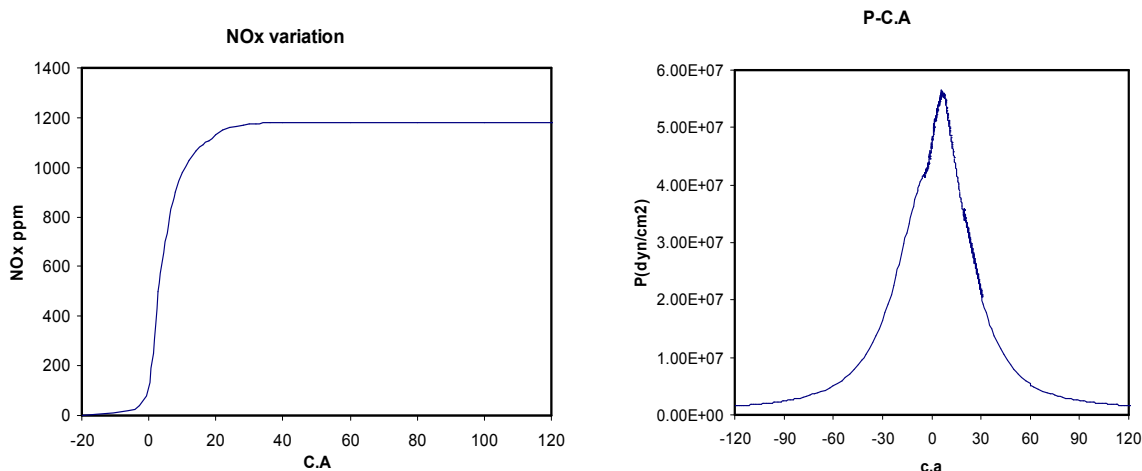
بعضی از ثابت‌های مورد استفاده در کد کالیبراسیون محل بیشینه فشار در نتایج تجربی و عددی یکی بوده و منحنی‌های توان رفتار یکسانی پیدا نمودند.

۵- مقایسه نتایج تجربی و مدل‌سازی

شبیه سازی در دور ۱۴۰۰ rpm و در گشتاور بیشینه برای فشارهای پاشش ۲۵۰ و ۲۶۵ bars و همچنین در زوایای مختلف پاشش با ۷ و ۱۵ درجه ریتارد انجام شده و در نهایت پاشش دو و سه مرحله‌ای سوخت مدل‌سازی گردید. حالت پایه موتور بدون توربو شارژ و با زاویه پاشش ۲۰ BTDC و فشار پاشش ۲۳۵ bars می‌باشد.

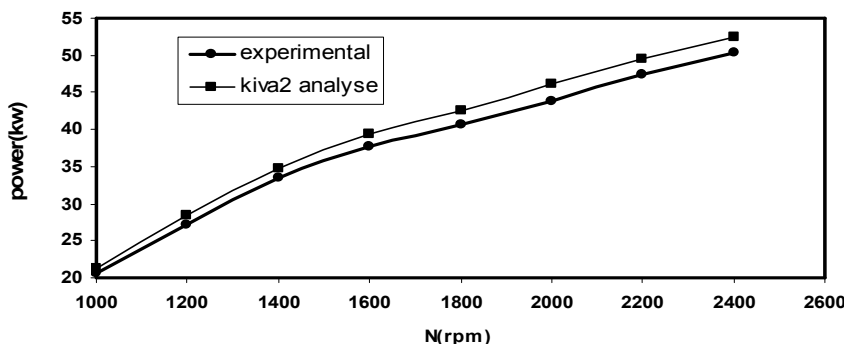
بیشینه فشار حاصل از حل عددی برای موتور پایه با طول مدت پاشش ۲۵ درجه زاویه میل لنگ مطابق شکل ۱۰ معادل ۵۵/۹۲ بار بوده که در زاویه ۱۱ درجه بعد از TDC رخ می‌دهد. منحنی توان تجربی و محاسباتی در شکل ۱۲ تطابق بسیار خوبی را نشان میدهند. شکل ۱۱ تغییرات آلاینده NOx را بر حسب زاویه میل لنگ نشان می‌دهد، با افزایش زاویه میل لنگ، NOx افزایش می‌یابد، زیرا تغییرات NOx بشدت به دمای داخل محفظه احتراق بستگی دارد. با شروع احتراق دمای پیش مخلوط افزایش یافته و همین عامل باعث افزایش تولید NOx می‌گردد. NOx پس از چند درجه تقریباً به حالت ثابت می‌رسد، زیرا NO بعد از تشکیل شدن به مقدار خیلی اندک تجزیه می‌شود. نقطه انتهای منحنی بیانگر کل آلاینده تشکیل شده در داخل سیلندر است. با توجه به مقدار NOx در جدول ۲ ملاحظه می‌شود نتایج حاصل از حل عددی مطابقت بسیار خوبی با نتایج تجربی دارد. با ریتارد زمان پاشش جهت کاهش NOx، مقدار آلاینده‌های Soot, CO, HC و HC افزایش می‌یابد.

فشار پاشش بالاتر سبب بهبود احتراق می‌شود. اگر سوخت با فشار زیاد به درون محفظه احتراق تزریق شود شدت اختلاط به صورت قابل توجهی افزایش یافته و باعث افزایش نرخ آزاد شدن انرژی و افزایش دما می‌شود و در نتیجه تولید NOx افزایش می‌یابد که این بدلیل اختلاط بهتر سوخت و هوا و افزایش دمای احتراق می‌باشد. در فشار تزریق ۲۶۵ bars مقدار آلاینده HC افزایش می‌یابد که دلیل آن افزایش طول جت سوخت تزریق شده و برخورد قطرات سوخت با دیواره کاسه پیستون می‌باشد.

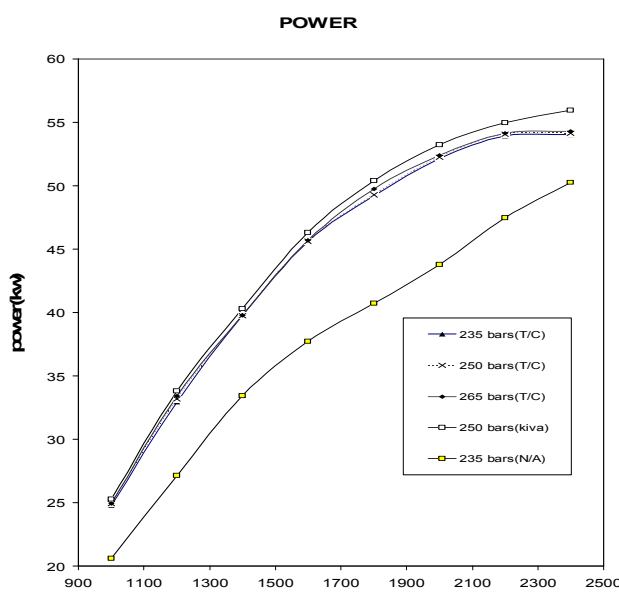


شکل ۱۱: تغییرات آلاینده NOx بر حسب زاویه میل لنگ

شکل ۱۰: منحنی فشار حاصل از حل عددی



شکل ۱۲: منحنی توان تجربی و محاسباتی موتور پایه



شکل ۱۳: منحنی توان تجربی و شبیه سازی شده موتور با فشار پاشش ۲۳۵، ۲۵۰، ۲۶۵ و ۲۶۵ bars

جدول ۲ - مقدار آلاینده‌ها در بار کامل و دور ۱۴۰ rpm

آلاینده	نتایج تجربی	KIVA II نتایج
CO ppm	0.02	0.02
HC ppm	7	-
NOx ppm	1100	1180
Soot (B.N)	2	-

برای مقایسه نتایج تجربی و شبیه سازی لازم است منحنی توان تجربی موتور با فشارهای پاشش ۲۳۵ و ۲۵۰ bars و ۲۶۵ bars و منحنی توان شبیه سازی با فشار پاشش انتخابی نمونه ۲۵۰ bars جهت کالیبره کردن مدل احتراق ارزیابی گردد. در شکل ۱۳ روند منحنی توان شبیه سازی شده با منحنی تجربی در کنار هم نشان داده شده و سازگاری مناسبی را نشان میدهدند. از دو شکل ۱۳ و ۱۴ نتیجه می‌گیریم که با افزایش فشار پاشش، ضمن افزودن نرخ پاشش به ویژه در دورهای بالا، نرخ تغییرات مصرف سوخت کاسته شده و مصرف مخصوص سوخت بهبود می‌یابد. افزایش فشار پاشش باعث ورود هوای بیشتر به داخل افسانه و اختلاط بهتر سوخت و هوا می‌شود و این در حالی است که بدون تاثیر بر زمان تاخیردر اشتعال، زمان احتراق کاهش و وضعیت احتراق بهتر می‌شود. با توجه به شکل ۱۳ و ۱۴ بیشترین توان در حالت فشار پاشش ۲۶۵ bars بدست می‌آید و کمترین مصرف سوخت ویژه در حالت کارکرد موتور با فشار پاشش ۲۵۰ bars اتفاق میافتد.

شكل ۱۵ تغییرات NOx شبیه سازی شده برای سه فشار پاشش متفاوت bars ۲۳۵، ۲۵۰ و ۲۶۵ را بر حسب زاویه لنگ در یک پریارد احتراق برای همان دور نشان می دهد. همانطور که ملاحظه می شود با افزایش فشار تزریق NOx افزایش می یابد و این به علت افزایش کسر احتراق پیش مخلوط با افزایش فشار پاشش است. بیشترین NOx در گشتاور ماکزیمم تولید می شود و این همان نقطه ای است که ضریب لامبدا به کمترین حد خود می رسد و شرایط احتراق به استکیومتریک نزدیکتر است.

همراه با ریتارد زاویه پاشش به ۱۵-۱۰ درجه قبل از نقطه مرگ بالا، گشتاور افت می کند و مقدار آلاینده NOx به طور قابل توجهی کاهش می یابد. از شکل ۱۶ ملاحظه می شود که با ریتارد پاشش سوخت، NOx کاهش می یابد زیرا دما و فشار داخل محفظه احتراق کاهش می یابد. در شکلهای ۶، ۷، ۸، ۹ و ۱۶ اثر استفاده خنک کن میانی بر گشتاور و آلاینده ها نشان داده شده است. اینترکولر سبب کاهش NOx می شود که شبیه سازی تولید NOx توسط کد نیز همین واقعیت را نشان می دهد.

با بررسی شکل ۷ مشاهده می شود که با افزایش فشار پاشش شاهد کاهش Soot در بارهای پایین برای موتور بدون خنک کن میانی و در بار بالا و پایین برای موتور همراه با خنک کن میانی می باشیم که ناشی از ورود هوای بیشتر به همراه افسانه سوخت به داخل محفظه احتراق و اختلاط بهتر سوخت و هوا و در نتیجه بهبود احتراق می باشد. ولی با بیشتر کردن فشار پاشش بعلت افزایش طول افسانه سوخت و برخورد با دیواره تولید Soot و HC افزایش می یابد هر چند که در دور و بار بالا بعلت افزایش دمای محفظه هر دو کاهش می یابند.

ریتارد پاشش سوخت بعلت کاهش دوره تأخیر اشتعال و دمای احتراق، سبب افزایش Soot و HC می شود هر چند که در دورهای بالا بعلت افزایش دمای محفظه احتراق و کم شدن اثر تزریق، ثانویه تولید Soot کاهش می یابد. با توجه به آزمایشات انجام شده بهترین حالت عملکرد موتور در حالت موتور با توربوشارژ و با فشار پاشش bars ۲۵۰ و حدود ۷ درجه ریتارد بدست می آید که سطح آلاینده آن در مقایسه با استانداردهای اروپا در شکل ۴ نشان داده شده است.

۶- بررسی تزریق چند مرحله‌ای

در این بخش اثر تزریق چند مرحله ای بر روی آلاینده NOx بررسی می شود. تزریق یک مرحله ای با طول دوره پاشش ۲۰ درجه و تزریق دو مرحله ای با زمان بندی (۱۵-۵-۴-۳-۳-۵) و سه مرحله ای با زمان بندی (۱۵-۴-۳-۳-۵-۴) با طول پاشش ۲۸ درجه برای هر دو حالت، شبیه سازی شده است. با استفاده از تزریق سوخت دو و سه مرحله ای، احتراق دومین و سومین پالس سوخت تزریق شده در اثر توقف تزریق با تأخیر مواجه است و نرخ تشکیل NOx بطور قابل ملاحظه ای در مقایسه با تزریق منفرد کاهش می یابد که اثر آن معادل ریتارد پاشش بدون افزایش در مقدار Soot و دیگر آلاینده هاست. بنابراین همانگونه که در شکل ۱۷ نشان داده شده است، تزریق چند مرحله ای سوخت سبب کاهش NOx می شود. در شبیه سازی پاشش دو مرحله ای موتور با توربو شارژ و فشار پاشش bars ۲۳۵ آلاینده NOx با کاهش ۶ درصدی از ۱۲۲۱ ppm به ۱۱۴۷ ppm می رسد.

شبیه سازی پاشش سه مرحله ای موتور با توربوشارژ، خنک کن میانی، زاویه پاشش ۲۵۰ bars و فشار پاشش ۱۳ BTDC می دهد با توان تولیدی Kw ۳۸/۱۳ آلاینده NOx با کاهش ۱۰ ppm درصدی از ۱۱۵۱ ppm به ۱۰۳۴ ppm می رسد. توان بدست آمده از آزمایش موتور با مشخصات ذکر شده Kw ۳۵ است که در این حالت مقدار آلاینده ۱۰۶۳ ppm است.

۷- جمع بندی و نتیجه گیری

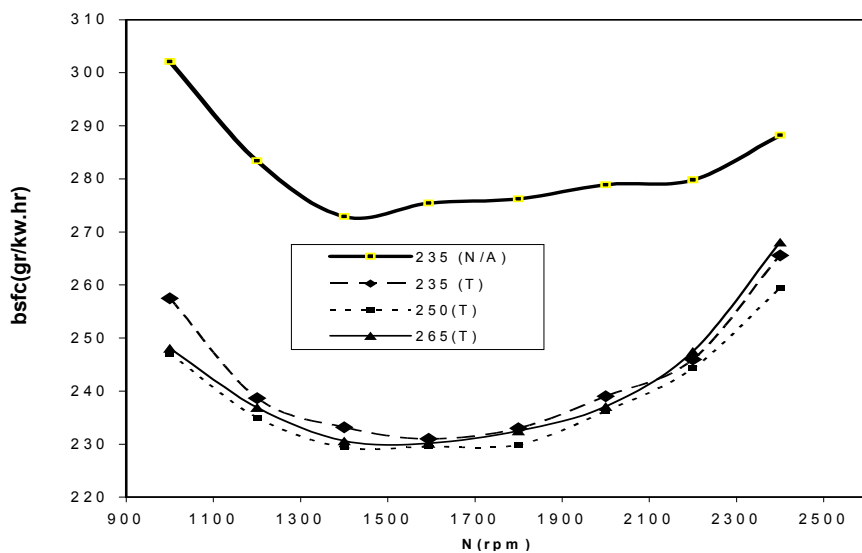
- ۱- ریتارد زمان تزریق سوخت سبب کاهش قدرت خروجی می شود و کاهش قابل توجه آلاینده NOx را نیز به همراه دارد. آوانس زمان تزریق نیز سبب کاهش توان و افزایش آلاینده NOx می شود.
- ۲- بررسی اثر فشار تزریق بر روی قدرت خروجی و آلاینده NOx نشان داد که با افزایش فشار تزریق از bars ۲۳۵ به ۲۶۵ bars قدرت خروجی و آلاینده NOx افزایش و آلاینده Soot کاهش می یابد. در حالت تزریق با فشار bars ۲۵۰ کمترین مصرف

سوخت ویژه بدهست می‌آید. در حالت تزریق با فشار bars ۲۶۵ مقدار آلاینده HC افزایش می‌یابد و تغییرات قدرت خروجی نسبت به تزریق با فشار bars ۲۵۰ قابل توجه نیست و مصرف ویژه سوخت نیز بیشتر است که دلیل آن افزایش طول پاشش و پدیده برخورد جت با دیواره و پیامدهای آن می‌باشد.

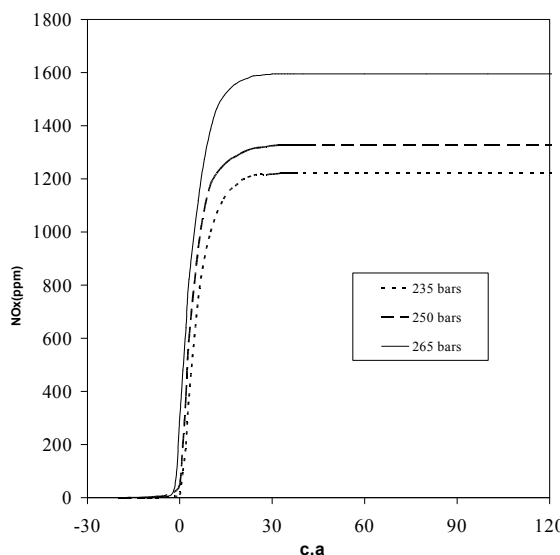
۳- با توجه به نتایج آزمایشگاهی، استفاده از توربوشارژ به همراه خنک کن میانی مناسب سبب کاهش شدید تولید Soot میگردد که دلیل عده آن را میتوان به بهبود احتراق و افزایش طول دوره احتراق کنترل شده نسبت داد.

۴- تزریق چند مرحله‌ای آلاینده NOx را کاهش داده و اثر آن شبیه ریتارد پاشش است. در حالت پاشش تک مرحله‌ای موتور با توربوشارژ و فشار پاشش bars ۲۳۵ ppm NOx معادل ۱۱۳۵ ppm آلاینده NOx با کاهش ۶ ppm درصدی به ۱۱۴۷ ppm برای آلاینده NOx را نشان می‌دهد. با مشابه سازی پاشش دو مرحله‌ای آلاینده NOx با کاهش ۱۳ نشان داد آلاینده NOx با کاهش ۱۰ درصدی از ۱۱۵۱ ppm به ۱۰۳۴ ppm می‌رسد که در این حالت موتور قابلیت برآورد محدودیت موجود برای آلاینده NOx در استاندارد EURO II را دارد.

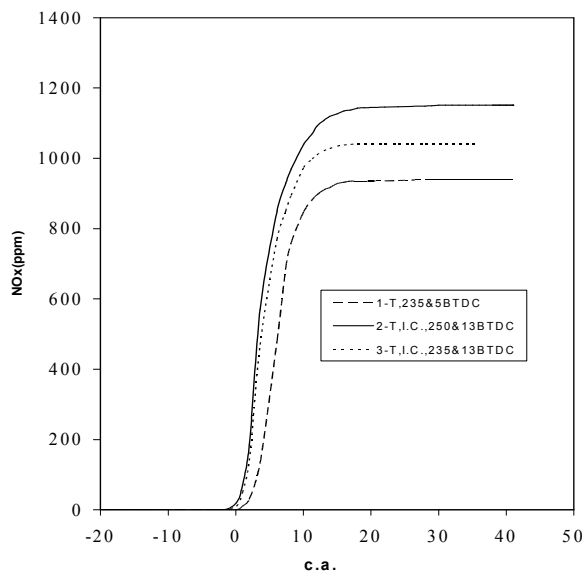
B S F C



شکل ۱۴: منحنی مصرف مخصوص سوخت با فشار پاشش ۲۳۵، ۲۵۰، ۲۳۵ bars و ۲۶۵ bars

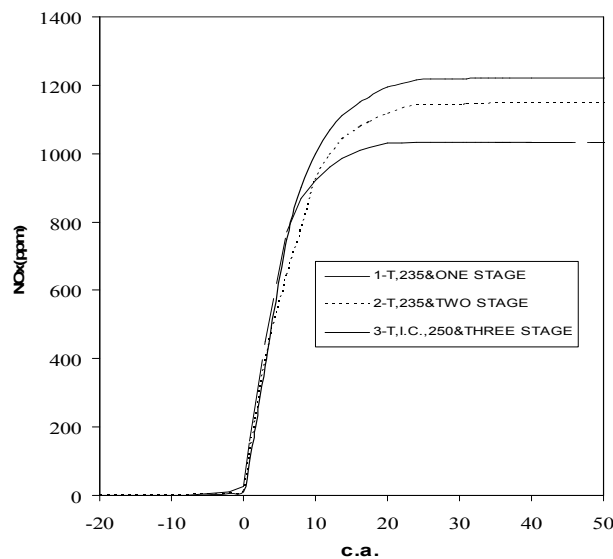


شکل ۱۵: تغییرات آلاینده NOx در دور ۱۴۰۰ بر حسب زاویه لنگ (توربوشارژ، فشار پاشش ۲۳۵، ۲۵۰ و ۲۶۵ بار و ریتارد تا ۱۳ درجه)



شکل ۱۶: تغییرات آلاینده های NO در دور ثابت ۱۴۰۰ بر زاویه لنگ

- (۱)- توربوشارژ، فشار پاشش ۲۳۵ بار، ریتارد تا ۵ درجه)
- (۲)- توربوشارژ، خنک کن میانی، فشار پاشش ۲۵۰ بار، ریتارد تا ۱۳ درجه)
- (۳)- توربوشارژ، خنک کن میانی، فشار پاشش ۲۳۵ بار، ریتارد تا ۱۳ درجه)



شکل ۱۷: تغییرات NOx بر حسب زاویه لنگ

- (۱)- پاشش یک مرحله ای با فشار و طول دوره پاشش ۲۳۵ بار و ۲۰ درجه با، ریتارد ۱۳ درجه)
- (۲)- پاشش دو مرحله ای با فشار و طول دوره پاشش ۲۳۵ بار و ۲۸ درجه با، ریتارد ۱۳ درجه)
- (۳)- پاشش سه مرحله ای با فشار و طول دوره پاشش ۲۵۰ بار و ۲۸ درجه با، ریتارد ۱۳ درجه)

مراجع

1. Shimada T., Shoji T. and Takeda., Y "The Effect of Fuel Injection Pressure on Diesel Engine Performance", SAE Paper 90194, 1999.
2. Shundoh, S., Kakegawa, I., Tsujimura, K., "The Effect of Injection Parameters and Swirl on Diesel Combustion with High Pressure Fuel Injection", SAE Paper 910489, 1991.
3. Manfred Dürnholz, Helmut Endres, and Peter Fnsse , " Pre-injection, A Measure to Optimize the Emission Behavior of DI-Diesel Engine", SAE Paper 940674, 1994
4. Nehmer, D. A. and Reitz, R. D., "Measurement of the Effect of Injection Rate and Split Injections on Diesel Engine Soot and NOx Emissions", SAE Paper 940668, 1994.
5. Tow, T., Pierpont, A. and Reitz, R. D., "Reducing Particulates and NOx Emissions by Using Multiple Injections in a Heavy Duty D.I. Diesel Engine", SAE Paper 940897, 1994.
6. D. A. Pierpont and R. D. Reitz, "Effects of Injection Pressure and Nozzle Geometry on Diesel Emissions and Performance", SAE Paper 950604, 1995.
7. Pierpont, D. A., Montgomery, D. T. and Reitz, R. D., Reducing Particulate and NOx Using Multiple Injections and EGR in a D. I. Diesel", SAE Paper 950217, 1995.
8. Montgomery, D. T., and Reitz, R. D., "Six-mode Cycle Evaluation of the Effect of EGR and Multiple Injections on Particulate and Nox Emission from a D. I. Diesel Engine", SAE Paper 960316, 1996.
9. Han, Z., Uludogan, A., Hampson, G. J., and Reitz, R. D., "Method of Soot and NOx Emission Reduction Using Multiple-Injection in a Diesel Engine", SAE Paper 960633, 1996.
10. Amsden, P. J. O'Rourke, and T. D. Butler, "KIVA-II A computer program for chemically reactive flows with sprays", Tech. Rep. -11560 - MS, Los Alamos National Laboratory, 1989.